

高等学校教学用书

蒸 汽 透 平

下 册

(修 訂 本)

A·B·雪格里雅耶夫著

陈大燮 陈丹之譯

中国工业出版社

下册 目录

第七章 蒸汽透平的热力計算	143
7-1. 选择多級透平构造时的原则	143
7-2. is 图上透平过程曲线的近似估計	151
7-3. 凝汽式透平最后一級的計算	155
7-4. 冲动式透平第一非调节級的計算	156
7-5. 透平各級間的热降分配	156
7-6. 冲动式透平級詳細計算时的特点	158
7-7. 冲动式凝汽透平的热力計算示例	159
7-8. 反动式蒸汽透平的热力計算特点	172
7-9. 反动式蒸汽透平的热力計算示例	176
7-10. 径流式蒸汽透平	189
第八章 蒸汽式蒸汽透平的构造	194
8-1. 軸流式凝汽透平的构造示例	194
8-2. 輪流式蒸汽透平的起动及运转工作的一般条件	222
8-3. 径流式透平的构造	227
第九章 工况变动时透平的工作	232
9-1. 非設計工况下单独一级的工作	232
9-2. 蒸汽通量改变时透平各級中热降和压力的分配	237
9-3. 蒸汽通量改变时配汽方法对于透平热力过程的影响	242
9-4. 蒸汽分配系統的选择	261
9-5. 蒸汽参数对于透平經濟性的影响	264
9-6. 工况变动时的透平軸向推力	270
第十章 热电能两式透平	272
10-1. 背压式透平	272
10-2. 背压式透平的构造实例及其运转特点	275
10-3. 中間控制抽汽式透平	281
10-4. 具有一个控制抽汽的透平計算举例及其工况图的作法	287
10-5. 中間抽汽式透平的构造实例及其运转特点	294
10-6. 抽汽式背压透平	299
10-7. 两级控制抽汽式透平	301
10-8. 乏汽透平	308
中俄名詞对照表	310

第七章 蒸汽透平的热力計算

7-1. 選擇多級透平構造時的原則

作為蒸汽透平計算時的已知量來說，通常都採用：新鮮蒸汽的參數，透平排汽管中的壓力，透平的有效額定功率及經濟功率。所謂額定功率就是在任意一段時間內，透平所可以產生的最大功率 N^* 。這一功率，通常就用作發電廠機組的功率。在大多數場合之下，額定功率是用開放調節系統中的過載閥來達到的，這樣一來，透平的效率就因之降低。透平的經濟功率 N^{*k} 是指該透平進行熱力計算時的所定功率，在此功率之下，透平應當有最高的相對效率。經濟功率一般為額定功率的 0.8—0.9。蘇聯發電廠所裝置的大功率透平通常都在很高的負荷系數下工作，因此對於這些透平來說，經濟功率最好也提高，可以取成 $N^{*k} = (0.9—1.0)N^*$ 。

在設計透平時，透平的轉數，也應該當作已知量看待。

事實上，如果透平用以直接聯動發電機，則在中等的蒸汽壓力之下，當透平的功率超過 2500—4000 轉時，透平軸直接和發電機軸相連接。所以透平的轉數就等於發電機的轉數。在蘇聯都廣泛採用 50 周率的交流電，透平發電機每分鐘的最大轉數為 3000 轉。所有傳動發電機用的透平，照例都按這一轉數來設計，這些透平的功率在 2500 到 15000 轉之間。從前大功率的透平常常制成 1500 轉/分，而在晚近所有大功率的透平我們都造成 3000 轉/分。

對於 2500 轉以下功率的透平來說，在大多數場合之下，最好能採用更高的轉數，並且利用減速齒輪傳動機構來連接透平與發電機。

改用減速齒輪傳動機構之後，透平的轉數可以在廣大的範圍當中去選擇。

在高壓透平中，即使當功率為 6000 轉時，應用減速齒輪傳動機構以及提高透平的轉數看來也可能是合理的。

如果透平的所有各級都按最佳速度比 $x_a = \frac{u}{c_a}$ 來造成，或几乎可以這樣說，當透平製成很高的柏生系數時，則透平就可達到很高的效率，與此同時我們必須要盡量保證，使在高壓蒸汽區域內工作的各級，其噴管與輪葉都能有充分的高度，並且使噴管與輪葉都有最好的葉型。

要滿足這些條件就要把透平的級數造得很多，因此在有一段時期里即使在中等的蒸汽壓力之下也必須把透平分成幾個串接的機殼。

後來，要求把透平的構造設計得簡單，所以透平的機殼數目也受到限制。在衛國戰爭以前有著這樣的傾向，初壓在 30 或 30 以下絕對大氣壓的透平都造成單機殼，而 80 或 80 以上絕對大氣壓的高壓透平，則造成雙機殼。

在高壓凝汽式透平中，並不只是因為它所要轉換的理想熱降很大（330 大卡/公斤以上），其必須採用的級數很多，所以才採用雙機殼構造的。戰前，高壓透平之所以不敢做

成单机壳，一方面也是因为机壳受着很剧烈的温度变化的影响（在高压部分接近 $450-500^{\circ}\text{C}$ ，排气管中只有 25° 左右）。

在这些条件之下，要使机壳的热膨胀处理得很好，对过去来说是很成问题的。但是对于目前来说，制造单机壳高压透平的可能性可以认为已经成功。列宁格勒的斯大林金属工厂在战争年代曾设计出一系列单机壳的高压透平。由于该厂一方面采用单机壳的构造，同时又采用很高的转数，所以能造出合理的透平构造，这些透平在战后年代里曾获得广泛的采用（例如，参阅图1-4）。

当设计及选择透平的构造时，有决定性意义的倒还不是功率，而是蒸汽的容积流量，即 Gv 乘积。

在凝汽式透平中，每秒钟所流过的蒸汽容积，其变化范围非常之大，因为当蒸汽在膨胀时，其比容发生变化。我们可以充分看出，即使新鲜蒸汽的压力是中等的， $p=29$ 绝对大气压，其温度为 400°C ，比容为 $0.105 \text{ 米}^3/\text{公斤}$ ，当其膨胀到 0.04 绝对大气压，干度为 0.90 时，比容增加到 $31.9 \text{ 米}^3/\text{公斤}$ ，即增加到 304 倍之多。对于高压蒸汽来说——当压力 90 大气压，温度 500°C 时——蒸汽的比容为 $0.0376 \text{ 米}^3/\text{公斤}$ ，当该蒸汽膨胀到同样的参数，即 0.04 绝对大气压及 $\alpha=0.9$ 时，比容增大到 850 倍。应用回热式的给水加热之后，蒸汽重量流量可以逐渐减低，所以在具有回热的凝汽式透平中，透平各级每秒钟所流过的蒸汽容积，其增加的倍数比前面所举的例子要来得小。但是因为所有回热用的全部抽汽量，一般不超过透平中新鲜蒸汽输入量的 $15-30\%$ ，所以蒸汽流过透平时，其每秒钟容积的增加倍数终究还是很大的。

因为蒸汽容积流量的绝对值和蒸汽重量

流量有关，因此在选择透平的构造及进行计算时，必须先取定透平的相对效率，然后预算一下每秒钟的蒸汽重量流量。此时，如果透平应该按照回热循环来工作，则必须给出图上的过程变化，先计算回热方案，求出透平中考虑抽汽量后的一公斤蒸汽所可以作的功，然后按照透平的各个抽汽段来计算每秒钟的蒸汽重量流量。

为了使多级透平有很高的效率起见，应尽量使通流部分的通道剖面面积变化得很均匀，避免汽流转弯过剧，因为后者总要引起附带的损失。如上面所指出，在凝汽式透平中，蒸汽容积流量的变化很大，如果要把透平的通流部分造得很平均，在构造上常会引起困难。

近代凝汽式透平中的透平级，依其特征可以分成以下四类：(a) 透平的调节级；(b) 工作于高压蒸汽下的透平级，在高压区域下，每秒钟流过的蒸汽容积甚小；(c) 透平的中间级，在这些中间级中蒸汽的容积相当大；以及 (d) 真空下工作的低压级，在低压级中蒸汽的容积达到很大的数值。在以上所提及的四种透平级中，如果一透平是采用节流配汽法，那末调节级可以不用；至于对其他几类来说，则上面所作的分类是很相对的，然而这些透平级的计算及构造各有它们的许多特点，这些特点证明这样的分类是正确的。

调节级型式的选用，是否把它制成单列冲动式或双列冲动式寇蒂斯轮，要看透平在经济功率下，调节级中所取的调节热降的小而定； $30-35$ 大卡/公斤以下的热降，通常可以在单列调节级中转换；热降在 40 到 $100-120$ 大卡/公斤之间的，需要用两列寇蒂斯轮来作为调节级。

要合理地选择调节级的热降，就必须以透平工况变动时的分析为基础，这将在 § 9-4

中詳細分析。但是現在我們必須講一些和選擇調節級的設計熱降有關係的意見，因为此后的透平构造与該設計熱降有很大的关系。

調節級的效率要比后面透平級的效率來得低；因此在透平的經濟功率之下，如果增大調節級中的熱降，会使透平的總效率降低。但是在蒸汽容积通量很小的透平中，前端外汽封中的漏汽損失对效率也有很大的影响。調節級汽室中的压力愈低，从外汽封中所漏过的蒸汽也就愈少。因此对于蒸汽容积通量很小的透平來說，为了减小前端外汽封中的漏汽損失，降低調節級汽室中的压力因而增加其設計熱降也可能是合算的。

此外，在蒸汽流量很小的透平中，当調節級汽室內的压力降低时，如果下一級噴管与輪叶的高度很充分，就很容易达到全部进汽。

假定調節級的熱降采用得很大，則透平的构造可以簡化。事实上，如果調節級汽室中的蒸汽压力不超过5—6 絶對大气压以及溫度 275°C ，那末透平的机壳可以用鋁鐵做成，因此这时候只要把汽柜以及調節級的噴管室用鋼做成就行（例如，可參閱圖8-2）。

同样，对于在很高的蒸汽溫度（ 500°C 或以上）下工作的高压透平來說，調節級的熱降常常选得使調節級汽室內的溫度不超过一定的水平（譬如， 420 — 440°C ）。这样，无论透平机壳或轉子都有可能采用比在調節級的熱降很小而透平的机壳与轉子要承受 450 — 460°C 以上高温的情况下更普通的鉬鋼。在这些透平中，当零件的尺寸已經規定时，整組轉子的采用就決定了調節級的最大直徑，因此（在最佳的速度比 $x_n = \frac{u}{c_1}$ 之下）也就決定了它的最大熱降。

当蒸汽的容积通量甚大时，要使透平的构造簡化，就不能够用加大調節級中熱降的

办法。因为前端外汽封中的漏汽損失在这时候并不起很大作用，同时也很容易使后面各級能够在足够的輪叶高度下达到全部进汽，而且这时候如果調節級的熱降选择得很大，那末由于調節級本身的效果低，会使整部透平的效率也降低。因此在按照大蒸汽通量来设计的透平中，当它有时采用寇蒂斯輪作为調節級时，则調節級中的熱降取得不大，常为40—60 大卡/公斤之間。

如果采用节流配汽法，则調節級就沒有了。按照很大的蒸汽通量来设计的透平，当其在經濟功率下采用节流配汽法来工作时，其效率可以比用噴管配汽法的透平来得高一些。但是在經濟功率下采用节流配汽法的优点，在大多数場合下是不上算的，因为采用节流配汽法的透平，当其負荷改变时，其效率比用噴管配汽法的透平跌得更快。

在过去很长的一段時間里，許多透平制造厂只制造采用节流配汽法的透平，但是在它们后来的构造当中，就改用噴管配汽法。譬如象列宁格勒的新大林金属工厂，过去是出产节流配汽式透平的，但是在后来出产的透平构造中，该厂只采用噴管配汽法（參閱§1-3, 8-1, 10-5）。

在調節級后面的前几級中，設計者的主要任务就是要保証輪叶与噴管有足够的高度。

公式(3-7-6)指出，要达到上述的目的，可以减小角度 α_1 及透平級的直徑，但是减小透平級的直徑，如果此时 $\frac{u}{c_1}$ 保持不变，则又会引起速度 c_1 的减小。在冲动式透平級中，最小許可角度 α_1 取成 $\alpha_1 = 11$ — 14° 。

在反动式透平級中，角度 α_1 可在 14 到 20° 之間选取。减小透平級的直徑就需要减

低速度 c_1 ，因而必须将一级中的理想热降减低。这样一来，喷管和轮叶的高度虽然增加，同时透平的效率也提高，但结果透平的级数增多，透平的成本加大。

在透平前面几个非调节级中，隔板内汽封中的漏汽损失有着很大的影响。如果把热降取得小，也可减低些这种损失，因为随着喷管高度的增加，间隙的有效数值与喷管高度之比减小。同时多级透平中消耗于轮盘摩擦上的总功比级数很少的透平来得小。

如前所指出，在近代的透平制造业中，总想尽量把透平的构造简化，除掉高压透平以及功率很大的透平以外，都做成单机壳。在单机壳冲动式透平中，级数大都不超过 17—20 级，因为如果级数再增加下去，会使透平轴太长，这样临界转数要比透平转子的工作转数低得多。

对于近代透平中所采用的柔轴来说，如果轴自由振动的频率与扰动力频率之比 $\frac{n_{kp}}{n}$ 不低于 0.55—0.6，那末是可以允许的。

此外，在单机壳透平中应该注意到：第一非调节级直径与最后一级直径之比不要太小（不要小于 0.5），否则透平级的直径增加得太厉害，这样就很难保证透平通流部分的均匀，并且需要使直径作跳跃式的变化（例如，参阅图 8-2）。

由于以上所说的这些原因，要把单机壳透平前面几个非调节级的直径和热降取得很小是有困难的，而且在单机壳冲动式透平的第一非调节级中，热降很少低于 7—9 大卡/公斤。在多机壳透平中就没有这些困难，前面几个非调节级的热降常取成 4—5 大卡/公斤。

在蒸汽通量很小的单机壳透平中，当热降等于 7—9 大卡/公斤时，第一非调节级的喷管与动叶太小，为了增大它们起见，不得不

采用部分充汽或增大调节级的设计热降。但是，所有这些方法都不能使这种透平有高度的效率。

在反动式透平中，如果采用单机壳的构造，则级数的配列可以多达 30—40 级。因此在反动式透平中，前面几个非调节级的热降取得很小（每级在 1.5—2 大卡/公斤以下），况且更重要的是反动式透平不能采用部分充汽，同时漏汽损失要比冲动式透平来得厉害。

如果一透平的蒸汽容积通量很小，那末要使它达到高度的效率，根本的办法是把这种透平的转数取得很高。此时透平级直径的降低就用不到减小热降，因为直径的减小已为角速度的增加所补偿，所以透平级的圆周速度以及和该圆周速度相对应的热降可以充分地保持很大。

提高透平的转数同时可解决两个问题：首先，当第一非调节级全部充汽时，很容易达到所要求的轮叶高度；其次，可以把透平的级数做得不多，因为这时候用不到把各级的理想热降大大地减少。因此当透平的转数增加时，透平的尺寸与重量都减小。按照现有减速器制造业的情况，已经能使减速器达到很高的效率（97—98%），因此即使在 2500 或 2500 以下的中压蒸汽透平中，提高透平转数后所引起的经济优点就已经开始超过由于装置减速器后所引起的损失。在高压蒸汽透平中，提高透平的转数甚至对于 6000 或 6000 以上的透平也可能是合算的。

透平中间级的计算与构造，困难最小。事实上，在这些透平级中，由于蒸汽的膨胀，蒸汽的容积流量已经很大，所以喷管和叶片也已经有足够的高度，此时速度系数 φ 和 ψ 不再与喷管的高度有关（参阅图 3-16 及

3-17)。另一方面,透平級的直徑和叶片的尺寸还不是那么大,以至于在完成这些透平級时难以保証其輪盤与叶片有足够的剛度与机械强度。

如果说在設計前面几級时,由于蒸汽流的容积很小而发生困难(透平的功率愈小,也就是說蒸汽流量愈小,以及透平級中工作蒸汽的压力愈高,則这种困难也就愈大),那末在設計和繪制凝汽式透平的最后几級时,常常会碰到由于蒸汽的容积通量过大而引起的困难,因为当蒸汽的容积通量很大时,需要把最后几級的通道剖面面积做得很大。

对于凝汽式透平來說,其最后一級的計算以及构造上的完成是最有特別意义的;因为这一級通道剖面的大小将最后决定該凝汽式透平可以造成的大功率。

事实上,透平的功率可以写成:

$$N_t = 4.19 G H_0 \eta_{t0} \text{ 匹。}$$

这一公式适用于純凝汽式透平,在这种透平中,所有透平級中都有全部的蒸汽量通过。

如果透平設計成有回热系統,則因为部分蒸汽抽出去作为預热給水之用,所以最后一級所流过的蒸汽量小于前面几級的蒸汽流量,假定 G_k 为最后一級流到凝汽器中去的蒸汽量,那末回热式透平的功率可以写成:

$$N_t^* = m N_t = 4.19 m G_k H_0 \eta_{t0},$$

式中系数 m 用来考虑供回热給水用的撤出汽流中所含的能量,它的数值大于 1。系数 m 与給水的預热温度以及新鲜蒸汽的参数有关,通常为 1.1—1.20。

由連續方程式我們可将最后一級中所經過的每秒蒸汽流量写成如此:

$$G_k = \frac{F_2 c_2}{v_2}$$

或
$$G_k = \frac{\pi d l c_2 \sin \alpha_2}{v_2}.$$

对于絕對出口速度 c_2 的方向來說,最好使它与透平軸心線相平行,假定是这样的话,那末 $c_2 = 90^\circ$, 而流量方程式变成:

$$G_k = \frac{\pi d l c_2}{v_2}.$$

从这当中可以看出,透平最后一級中所可以流过的蒸汽量与最后一級的直徑、輪叶的高度以及蒸汽的絕對出口速度成正比,但是和蒸汽的比容成反比。

凝汽式透平最后一級出口处的比容首先与乏汽压力有关,后者为了提高透平的工作效率起見,应当保持于最低的水平。

出口速度 c_2 的大小同样也要关系到透平的效率,因为最后一級的出口速度不可能再利用,而余速損失 $\frac{Ac_2^2}{2g}$ 会使透平的相对效率降低。通常余速損失取成不超过透平总理想热降的 1.5—3%。余速損失的絕對数值最好不超过 6—10 大卡/公斤,后者相当于速度 $c_2 = 224—289$ 米/秒。如果把乏汽的比容 v_2 及出口速度 c_2 都当作已知数,那末可以得出結論,最后一級中所流过的每秒蒸汽量主要由通道剖面面积 $F_2 = \pi d l$ 来决定。而这个剖面面积本身与透平的轉數以及最后几級輪叶材料的許用应力有关。

作用在等剖面輪叶上的离心力为:

$$C = \frac{\gamma}{g} f l \omega^2 r,$$

式中 γ —輪叶所采用的金属的重度;

f —輪叶的横剖面面积;

l —輪叶长度;

ω —角速度;

r —輪叶重心的半徑。

等剖面輪叶根部处的拉应力为:

$$\sigma = \frac{C}{J} = \frac{\gamma}{g} l \omega^2 r.$$

在现代透平中，最后几级叶片在它的大部分长度上都做成等强度体的形状（参阅图3-46），也就是说，叶片的横剖面自根部向着顶部逐渐减小，这样可使拉应力降低。为了考虑等强度体叶片中这种应力的降低起见，我们引入系数 k 并将应力写成：

$$\begin{aligned}\sigma &= \frac{\gamma \omega^2 l d}{2 g k} = \frac{\gamma l d (\pi n)^2}{2 g k 30} = \\ &= \frac{\gamma \pi d l \pi n^2}{2 g k 900} = \frac{F_2 \gamma \pi n^2}{2 g k 900}.\end{aligned}$$

系数 k 可以达到 2.4—2.5。

上式指出，应力 σ 与叶片的出口剖面面积，叶片所采用的金属的重度 γ ，透平转数的平方以及系数 k 等有关。由这个式子求出 F_2 ，得：

$$F_2 = \frac{1800 g k \sigma}{\gamma \pi n^2}.$$

钢的重度为 $\gamma = 7.75 \times 10^{-3}$ 公斤/厘米³。

将这一数值代入上式并取 $k = 2.5$ ，得：

$$F_2 = 1.81 \times 10^4 \frac{\sigma}{n^2} \text{ 米}^2,$$

式中 σ 以公斤/厘米²，而 n 以转/分为单位。

取许用应力 $\sigma = 2300$ 公斤/厘米²，得：

$$F_2 = \frac{41.6 \times 10^6}{n^2},$$

而蒸汽流量

$$G_k = \frac{41.6 \times 10^6}{n^2} \frac{c_2}{v_2}.$$

因此单流式凝汽式透平的极限功率为：

$$N_e = \frac{175}{(n)^2 m H_0 \eta_o \eta_m} \frac{c_2}{v_2} \cdot \frac{1000}{1000}$$

假定最后一级出口处的蒸汽压力 $p_2 = 0.04$ 绝对大气压，湿度 $(1-x) = 12\%$ ，那末比容 $v_2 = 31.2$ 米³/公斤。

再令余速损失等于 7 大卡/公斤，相当于

出口速度 $c_2 = 242$ 米/秒，则当透平转数 $n = 3000$ 转/分时，透平的极限功率可表示成：

$$N_e = 150 m H_0 \eta_o \eta_m.$$

按照这一公式所计算出来的一些结果如表 7-1 中所示。

从该表所列的数据中，我们可以看出根据以上所作的假定以及低压部分的构造为单流式时透平所能达到的极限功率。必须指出，事实上列宁格勒的斯大林金属工厂已经制成了低压部分采用双流式的 100000 瓦的高压透平，并且造出了 50000 瓦的单流式高压透平。

在选择最后一级的尺寸时，假定级的余速损失是已知的。显然，余速损失的大小与蒸汽的容积通量有关，而后者不仅由蒸汽的每秒流量来决定，而且也视蒸汽的比容而定。随着真空度的加深，蒸汽的比容增加得很快。事实上，假定当压力 $p_2 = 0.04$ 绝对大气压及湿度为 12% 时，蒸汽的比容为 31.2 米³/公斤，那末在同样湿度下当压力为 0.03 绝对大气压时，蒸汽的比容就达到 41 米³/公斤，亦即要比前一情况增加 31%。显然，按较深的真空度来设计的透平，其最后一级的通道剖面应当很大。否则透平就不可能有效地利用由凝汽器中的低压所决定的加大的热降。

我们可以用 $\frac{D_k}{F_2}$ 的大小作为评比各种透平最后一级的特性值，它是流入凝汽器的蒸汽重量对凝汽式透平最后一级的轴向通道剖面 $F_2 = \pi d l$ 之比。我们可以称这个量为“最后一级的负荷”。

$\frac{D_k}{F_2}$ 愈小，则在凝汽器低压之下的热降就可以利用得愈好，而当冷却水的温度很低

表 7-1

新鲜蒸汽的系数 (温度)	p_0 t_0	绝对大气压 ℃	90	90	29	29
			500	500	400	400
乏汽的压力	p_2	绝对大气压	0.035	0.035	0.04	0.04
透平的轉数	n	轉/分	3000	6000	3000	6000
透平的内效率	η_{in}	—	0.84	0.80	0.84	0.80
余速损失	$h_{e.c}$	大卡/公斤	7	7	7	7
出口速度	c_2	米/秒	242	242	242	242
理想热降	H_0	大卡/公斤	333.8	333.8	272.5	272.5
可用热降	H_t	大卡/公斤	280.4	267.0	229	218
膨胀终点的蒸汽干度	x	—	0.864	0.887	0.883	0.902
膨胀终点的比容	v_2	米 ³ /公斤	34.8	35.7	31.8	32.0
考虑回热作用的系数	m	—	1.26	1.26	1.15	1.15
机械效率	η_m	—	0.985	0.95	0.985	0.95
透平的有效功率	N_e	瓦	47.000	10.500	39.000	8.700

时，凝汽器中可以达到很低的压力。換句話 最后一級的負荷应当選擇得較小。

說，假如透平是为某一区域而設計的，該区域 中有溫度很低的冷却水，那末在这一透平中，

表 7-2 中示有国内外制造的許多透平的 最后一級負荷及尺寸方面的主要数据。

表 7-2. 透平最后一級的比較数据

名 称	計量 单 位	列宁格勒金属工厂 (JM3)						哈尔科夫透平 制造厂 (XT3)	布朗-波弗米 公 司 (BBC)	阿斯-恰 尔 (A.C.)	通电 公 司 (G.E.)
		AK- 50-1	AK- 50-2	AK- 100-1	BK- 50-1	BK- 100-2	CBK- 150-1				
功率	瓦	50000	50000	100000	50000	100000	150000	100000	50000	147000	100000
轉数	轉/分	1500	3000	3000	3000	3000	3000	1500	3000	1800	8600
低压部分的排汽口 数目	—	$1\frac{1}{2}$	$1\frac{1}{2}$	$2 \times 1\frac{1}{2}$	1	2×1	$2 \times 1\frac{1}{2}$	2×1	2	2	2
流入凝汽器的蒸汽 量	吨/时	178	178	356	187	269	303	348	178	384	256
最后一級的直徑	米	2.47 2.13	2.11 1.76	2.11 1.76	2.0	2.0	2.387 2.0	2.794	1.715	2.74	1.66
最后一級的輪叶長 度	米	0.274 0.613	0.252 0.570	0.252 0.570	0.665	0.665	0.287 0.665	0.762	0.505	0.914	0.584
叶片頂部的圓周速 度	米/秒	215	364	364	421	421	421	279	348	382	424
通道剖面積	米 ²	6.20	4.80	9.6	4.18	8.36	12.6	18.4	5.44	15.7	6.08
单位負荷	吨/米 ² ·时	29.2	37.1	37.1	32.7	32.2	24.1	25.6	32.8	24.4	42.0
凝汽器中的压力	絕對大气压	0.05	0.046	0.046	0.037	0.035	0.03	0.04	—	—	0.052
余速损失	大卡/公斤	7.0	10.0	10.0	11.0	11.6	9.5	7.8	—	—	10.0

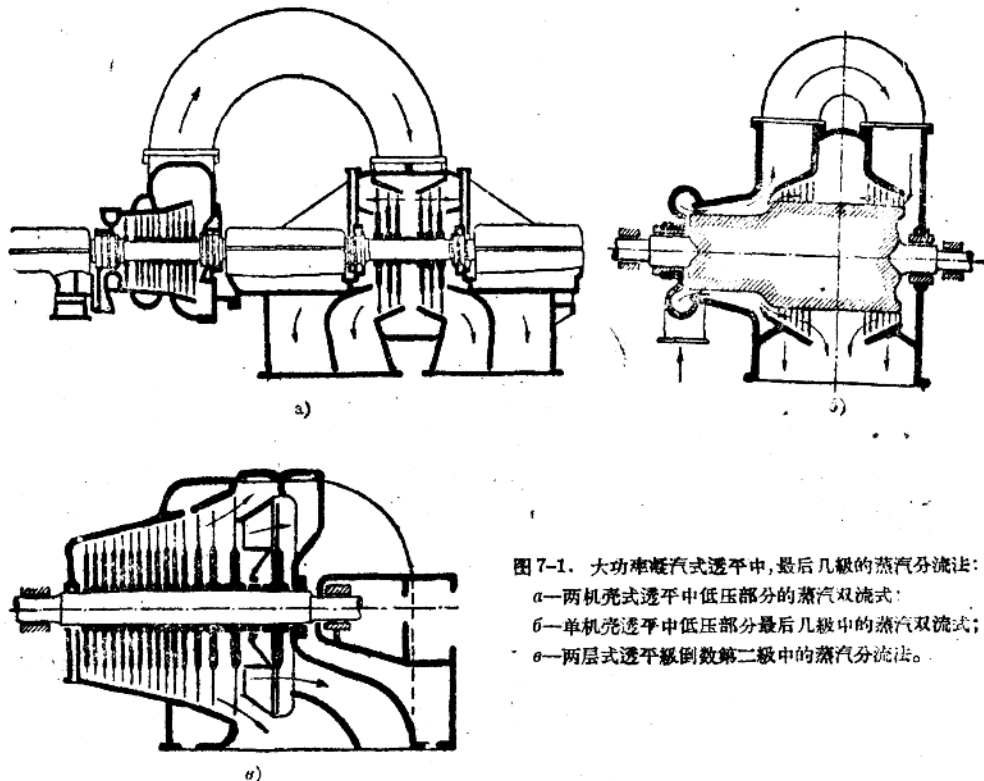


图 7-1. 大功率凝汽式透平中，最后几级的蒸汽分流法：
a—两机壳透平中低压部分的蒸汽双流式；
b—单机壳透平中低压部分最后几级中的蒸汽双流式；
c—两层式透平倒数第二级中的蒸汽分流法。

从该表中的数据，我们可以对最后几级的尺寸作出些一般的结论。平均圆周速度在最大的诸透平级中达到 314 米/秒，而最大圆周速度达到 421 米/秒，平均直径与轮叶长度之比不得做成小于 $\frac{d}{l} = 3.0$ 。

当转数为已知时，如果要把透平在高度真空之下做成很大的功率，那末为了减小余速损失，应当在透平的最后几级中把蒸汽分流。

图 7-1 中示有这种蒸汽分流的基本方案图。应用得很广的是透平的低压部分采用双流式的构造，如图 a 中所示。但是采用这种方案需要把透平做成两只机壳。蒸汽通往低压部分的中间，然后同时通过平行连接的各级流向两边。蒸汽在低压部分中的这样疏通方案称为双流式。

因为我们要想把透平做成单机壳式，结果就要采用象图 b 那样的蒸汽分流法，这里也采用了双流式的蒸汽疏通法。此处，在反动式透平的最后几级中，蒸汽的流动是迎面相对的。蒸汽顺着回流集汽管通向右边的透平级组。

另外一种蒸汽分流法是采用两层式透平级，这种分流方法应用之广也不亚于图 a，其分流的原理如图 c 中所示。此处，倒数第二级在高度方向上分成两部分。在这一级的上面一圈中，蒸汽从压力 p_1 膨胀到凝汽器中的压力 p_k ，所以蒸汽通过透平级的上层之后，直接撤出到凝汽器中。在下面一层中，蒸汽从压力 p_1 膨胀到某一中间压力 p_2' ，然后流入最后一级，在那里一直膨胀到压力 p_k 。因此在采用这种蒸汽分流法的透平中，其出口剖面

由倒数第二級的上层剖面 F_1 以及最后一級的出口剖面 F_2 所合成。双层式透平級的构造实例可以在图 8-16 中看得出来(見插頁)。

7-2. is 图上透平过程曲线的近似估計

为了詳細地进行蒸汽透平的热力計算，就必须先把它热力过程在 is 图上大概拟定下来。在許多場合下，这一任务具有独立的性质，譬如当需要确定一透平車間的方案，經濟性而用不到对具体的透平进行繁复計算时就是如此。

根据近代凝汽式透平的大量試驗，我們就可相当有把握地来估計出它們的效率。这个效率主要是与蒸汽的容积通量有关系，而容积通量又决定着噴管的通流剖面，所以后一个量也是估計透平效率的准则。假如我們取噴管的当量临界通流剖面 F 作为定性量，其中 F 可以按下式計算：

$$F = \frac{D}{36 \times 2.03 \sqrt{\frac{p_0}{v_0}}} \text{ 厘米}^2,$$

式中 D —蒸汽流量，公斤/时；

p_0 —蒸汽的初压力，絕對大气压；

v_0 —蒸汽的最初比容，米³/公斤，

那末大功率凝汽式透平的內效率可以表示成图 7-2 中所示的曲綫^①。

必須指出，在作这根 η_{ot} 曲綫时并没有把余速损失考虑进去，因此这一损失应当单独加以計算。

求得了 η_{ot} 值之后，还应当把它乘以修正系数（图 7-3），后者是与蒸汽的初压以及蒸汽的过热度（亦即初温 t_0 对饱和温度的超过量）有关。

蒸汽的过热度愈大，初压愈低，则透平最后几級中的蒸汽干度愈大，因而透平的效率

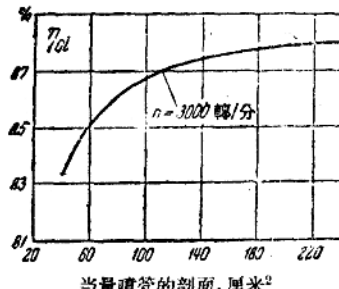


图 7-2. 没有中間再热的单軸大型蒸汽透平的內效率 η_{ot} 曲綫（效率的数值适用于单汽缸以及单軸的双汽缸透平裝置）。

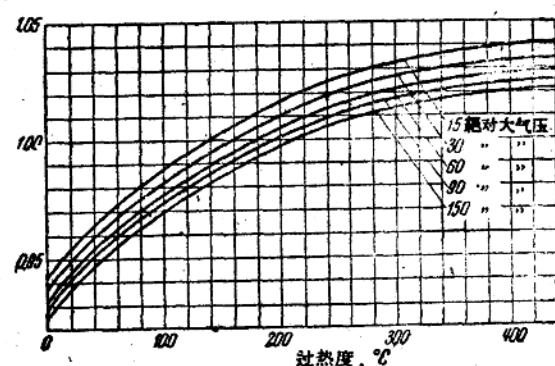


图 7-3. 内效率的修正系数。

也就愈高。

根据图 7-2 中的曲綫估定了效率并把它和透平的理想热降相乘之后，即可求得可用热降：

$$h_t = h_0 \eta_{ot} - \frac{Ac_2^2}{2g}.$$

量 $\frac{Ac_2^2}{2g}$ 的大小可以根据前面一节中的建議来取定。

在 is 图上画过程曲綫时，透平导汽机构以及調節閥中的压力损失应当按蒸汽初压的 5% 来估計，这样就可在图 7-4 的 is 图中求到点 2。然后用直線把点 2 与点 4 連接起

^① 图 7-2—7-7 是从 1952 年 ASME 学报中根据 T. W. Elston 以及 P. H. Knowlton 的論文取得，也可参阅“热能动力”杂志(Теплоэнергетика)1954 年第 4 期中洛巴諾夫 (B. II. Лобанов) 的文章。

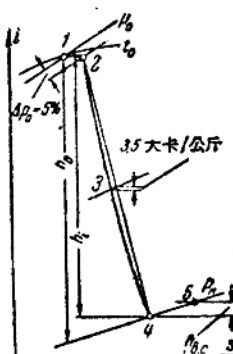


图 7-4. is 图上的透平工作过程的作法
(适用于没有中间再热的透平)。

来，并且在这根直线的中点沿着等压线放上3.5大卡/公斤左右的距离，求得膨胀过程的中间点3，然后通过这一中间点作一根连接点2和点4的平滑线。

这样作出来的过程线就可以作为透平装置回热系统的计算以及此后热耗量的近似计算或者此后透平的详细计算的基础。其中透平的机械损失可以取成发电机功率的

表 7-3. “电力”(Электросила) 工厂的
发电机的效率

型 号	功 率 瓦	在负荷下的效率		
		$\frac{1}{2}$	$\frac{3}{4}$	$\frac{1}{1}$
T2-0.5-2	500	88.5	90.5	92.5
T2-1-2	1000	91.0	92.5	93.6
T2A-1.5-2	1500	91.8	93.3	94.3
T2-3-2	3000	92.0	93.9	95.0
T2-3.5-2	3500	93.0	94.5	95.5
T2-6-2	6000	94.0	95.5	96.0
T2-12-2	12000	94.6	96.1	96.6
T2-25-2	25000	95.4	96.7	97.2
T2-50-2	50000	96.0	97.0	97.6
T2-100-2	100000	96.8	97.5	97.8
TB-25-2	25000	98.0 ¹	98.1 ²	98.2 用氢气冷却
TB-50-2	50000	98.0 ¹	98.3 ²	98.6 用氢气冷却
TB-100-2	100000	98.8 ²	98.9 ³	99.0 用氢气冷却

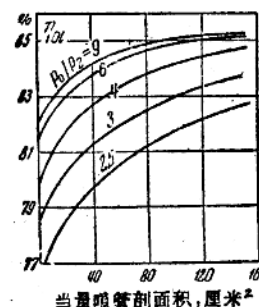
¹ 表示 60% 负荷下。

² 表示 80% 负荷下。

³ 表示 90% 负荷下。

0.6--1.0%，而发电机的效率可以根据表 7-3 来选取。

假如需要对具有中间再热的凝汽式透平进行类似的计算，那末问题就可按下面的办法来解决。整部透平应当看作由两部分组成：从蒸汽的初态到中间再热器为止的高压部分以及从中间再热器后面的状态膨胀到凝汽器中压力为止的低压部分。对于高压部分，在图 7-5 中作出有不同相对压力 p_0/p_2 下的



线把点2和点3连接起来。必须注意，作在图7-5上的效率曲线并没有包括外汽封损失，后者为0.6—1.0%，这种损失在 is 图上画过程线时应该单独加以考虑。

燃气的中间再热器中的压力损失和导汽管中的压力损失通常约为再热器中压力的10%。低压部分中的膨胀过程可以象对凝汽式透平那样的方法来作出(图7-6)。但是，因为低压部分并没有调节级和调节阀，所以它的效率要比凝汽式透平来得高一些并且可以从图7-7的曲线中取得。从这一图上所求

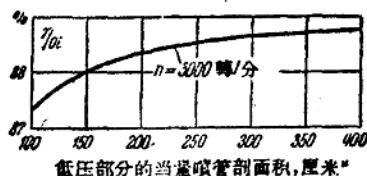


图 7-7. 具有中间再热的大型凝汽式透平 低压部分的内效率 η_{oi} 。

得的效率要乘以一图7-8上的修正系数。图7-7上的曲线是按不同的当量喷管剖面面积来作出，后者是按照低压部分之前的蒸汽参数及流量来算得的。

当在图7-6的 is 图中构作过程线时，应当考虑到低压部分截流阀中的压力损失，后者可以按2%来估计，当我们沿着等压线放入一段1.7大卡/公斤的线段后，就可以求得膨胀过程的中点对连接点5和点6的直线的位移。

高压部分的效率曲线(图7-5)也可以用来估计大型背压透平，而特别是前置式透平的效率。在估计乏汽压力时，应该考虑到透平排汽管中的损失，后者与蒸汽的流速以及排汽管的形状有关系，并可按下面所引用的公式(7-1)或者根据预先在实验室中对排汽管模型所作的试验数据来求得。

必须指出，以上所讲的透平中蒸汽膨胀过程的作法并没有考虑到许多在计算透平效率时有严重影响的因素，首先是调节级的型式以及它的理想热降。在使用图7-2及7-7中的曲线时应当记住，曲线中所引用的内效率 η_{oi} 的数值指高效率的透平而言，这些透平是按照最佳的速度比 x_0 ，也就是说，按照很高的柏生系数来设计的，并且有着高效率的喷管叶栅和动叶栅。

除了以上所讲的透平中蒸汽膨胀过程的近似作法之外，我们也可以先估计好透平的构造因素，根据级组的效率和蒸汽容积通量几何平均值之间的关系来拟出更详细的过程的变化性质。

为此，我们应当把总的热降分成四段或五段，然后顺次对每段热降求出蒸汽容积流量的几何平均值，并按照这一数值更可靠地来估计透平各段的相对内效率。

图7-8中作有冲动式透平级组 η_{oi} 的概略的变化界线，以及它们对蒸汽容积流量的

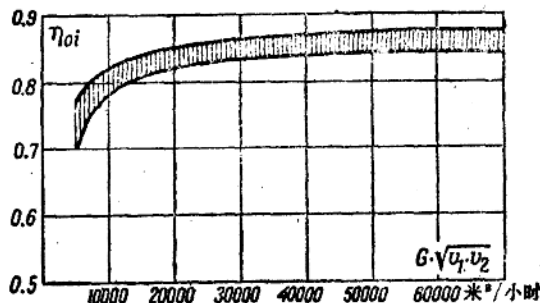


图 7-8. 冲动式透平级组的相对内效率与蒸汽的平均容积通量之间的关系。

几何平均值 $G\sqrt{v_1 v_2}$ 之间的关系，式中 v_1 —各段进口处的蒸汽比容， v_2 —各段等熵热降终点上的蒸汽比容。

利用这些曲线，我们可以估计出透平各段的相对内效率，然后概略地把透平中的蒸

汽膨胀过程画入 *is* 图中。

但是在这当中，必须把调节级的相对内效率直接估出来，对于单列冲动级来说， η_{st} 可以在 0.75 至 0.8 之间选取，对于两列寇蒂斯轮的调节级来说， η_{st} 可在 0.63 至 0.70 之间选取。对于在饱和蒸汽区域中工作的透平级组来说，必须根据图 7-8 曲线中所求得的效率再乘以所讨论的这段过程中的蒸汽平均干度。因此，对于在湿蒸汽中工作的透平级来说，应当考虑到蒸汽湿度对它的效率的影响。

此外，在试作蒸汽的膨胀过程时，尚应该考虑到蒸汽滤器中以及透平调节机构中所引起的蒸汽节流损失，同样也要把透平排汽管中的压力损失考虑进去。

由于蒸汽滤器，起动阀以及调节阀中的节流作用所引起的压力降落，一般可估计为新鲜蒸汽绝对压力的 4 至 5%。

透平排汽管中的压力损失与排汽管的形状大有关系。在现代透平中，排汽管的形状尽量做成扩压器的样子，使得汽流从最后一级的轮叶中排出时，尽可能利用其速度头，并把它的速度头化成压力。虽然如此，但是排汽管中的压力损失仍不得不考虑。

为了估计这一损失起见，可利用下列的公式：

$$\frac{\Delta p}{p_k} = \lambda \left(\frac{c_{st,n}}{100} \right)^2, \quad (7-1)$$

式中 $c_{st,n}$ —透平排汽管中的速度，以米/秒为单位，

λ —系数，它可以取成等于 0.05—0.1。

对于凝汽式透平来说，透平排汽管中的速度可选成 80—120 米/秒，对于背压式透平

来说，可取成 40—60 米/秒。

如果所计算的是两机壳式透平，那末在试绘蒸汽的变化过程之前，就已经可以考虑到集汽导管中的压力损失，我们必须把这一损失取成为集汽导管中蒸汽绝对压力的 2—3%。

在 *is* 图上作好了初步的蒸汽膨胀过程之后，就必须进行回热系统的热力计算。这样就必须设计回热系统，选定抽汽的压力。按照透平的膨胀过程求出抽汽的焓并对各个预热器进行热平衡的计算。因此抽汽量 $a_1, a_{II}, a_{III}, \dots$ 都可确定，这些抽汽量都是以进入透平中去的蒸汽流量的部分数来表示（参阅 § 1-5）。

知道了 $a_1, a_{II}, a_{III}, \dots$ 并算出 1 公斤蒸汽在透平内所产生的内功之后，可以按照公式 (1-29) 及 (1-30) 求准确的蒸汽流量。为了估计透平的机械效率，可利用图 7-9 中所示的曲线，在这一图中尚作有单级齿轮减速器的效率曲线，这根效率曲线应当用于透平和发电机是靠减速器来联动的场合。

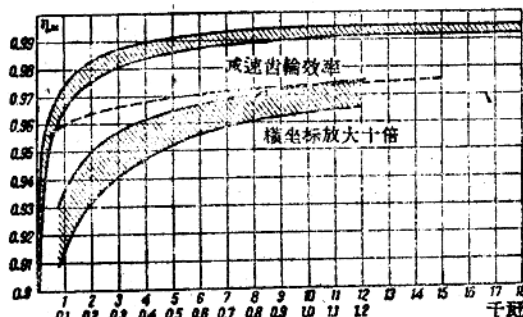


图 7-9. 透平的机械效率曲线以及减速齿轮的机械效率曲线。

这样所求得的蒸汽流量应当作为此后整个透平计算时的基础。

按照调节级中所取用的热降来计算透平的调节级时，可以根据以前所叙述的工作过

程原理来进行(參閱第三及第四章)。

在計算透平的后面几級時，必須先估計好級數以及這些級之間的熱降分配。

當我們在計算及設計透平的中間級時，象以前所指出，主要的任務就是要保證透平的通流部做得很平勻。既然通流部的變化界線是由透平的第一非調節級以及最後一級的尺寸來決定，因此在分配各級的熱降時，應當先計算最後一級以及第一非調節級的尺寸和熱降。

7-3. 凝汽式透平最後一級的計算

從最後一級葉道中出來的蒸汽，其出口速度 c_2 在此後的透平級中不再利用，因此，最後一級的余速損失 $h_{e,c} = \frac{Ac_2^2}{2g}$ 要使整個透平的內效率降低。在凝汽式透平中，蒸汽流出最後一級時的出口速度不得不讓它很大，這一損失 $\zeta_{e,c}$ 要達到透平理想熱降的1.5—3%。如前面所指出，凝汽式透平中的余速損失最好不要超過6—10大卡/公斤。

蒸汽流出最後一級時，其連續方程式為①：

$$Fc_2 = Gv$$

或

$$\pi d c_2 \sin \alpha_2 = Gv. \quad (7-2)$$

令比值 $\frac{d}{l} = \vartheta$ ，則可將方程式(7-2)寫成如此：

$$\frac{\pi d^2}{\vartheta} c_2 \sin \alpha_2 = Gv. \quad (7-2a)$$

再令余速損失

$$\frac{Ac_2^2}{2g} = \zeta_{e,c} H_0, \quad (7-3)$$

得

$$c_2 = 91.5 \sqrt{\zeta_{e,c} H_0}. \quad (7-3a)$$

將上式代入公式(7-2a)，並解出式中的

d ，得：

$$d = \sqrt{\frac{Gv\vartheta}{\pi 91.5 \sqrt{\zeta_{e,c} H_0} \sin \alpha_2}}. \quad (7-4)$$

假定透平做得適當的話，角 α_2 應當接近90°，所以 $\sin \alpha_2 \approx 1$ 。這樣可以使方程式(7-4)更加簡化。

按照is圖上初步所試作的过程變化線，我們可以求出透平排汽管進口處的蒸汽狀態。

在現代透平中對於小功率的透平來說，比值 ϑ 的數值在6—8之間。如果是高速巨型透平，則 ϑ 達到2.7—3。

應當記住， ϑ 愈小，輪葉長度上圓周速度的變化就愈厲害，同時葉根與葉頂處的進口速度三角形的差別也就愈大，而葉槳高度方向上的反動度變化也就愈強烈(參閱§3-7)。

當 ϑ 小於5—10時，倘使仍然按照透平級平均直徑處速度三角形中的進口角度 β_1 ，而把輪葉進口邊上的所有進口角度都做成等於 β_1 ，那末就會使級的效率大大降低(參閱§3-7)。

因此當比值 $\vartheta = \frac{d}{l} < 5-10$ 時，輪葉的進口角度必須變化，這樣就使得製造過程複雜並且使成本加貴。進口角度 β_1 相等的輪葉，在製造時比較簡單，它只能應用在比值 ϑ 大的場合。

按照公式(7-4)所求得的直徑，可以用來計算圓周速度 $u = \frac{\pi d n}{60}$ 以及最後一級中所可消耗的熱降：

① 严格說來，在列出這個方程式時，就象以往所做過的那样，應當把流量系數以及速度系數也考慮進去，但是，因為整個這種的計算是初步的，所以為了簡單起見，可以採用這種形式的速度方程式。

$$h_{0z} = \frac{Ac_a^2}{2g} = \frac{Au^2}{2gx_a^2}$$

如果这样求得的最后一級輪盤的圓周速度為材料強度所不許(參閱 § 7-1), 那末必須重新考慮在計算最後一級時所假定的數值(ϑ , ζ_{sc})。減少 ϑ 以及放大余速損失 ζ_{sc} , 從強度的觀點上來看, 要使透平級得到合適的圓周速度是常常可能的。假定 ϑ 和 ζ_{sc} 已經取到了極限數值, 而計算出來的圓周速度還是太高, 那末只得按圖 7-1 中所討論的三種分流方案, 取用其中的一種分流法。

7-4. 冲动式透平第一非調節級的計算

調節級後面的第一級稱為第一非調節級, 在第一非調節級中, 我們要盡量使它全部進汽, 也就是說, 充汽率等於 1。

由連續方程式得:

$$\mu_1 \rho \pi d l_1 c_{1t} \sin \alpha = G_1 v_{1t}$$

用圓周速度 u 來表示絕對速度 c_1 , 則可得到:

$$c_1 = \frac{u}{x_1} = \frac{\pi d n}{60 x_1}$$

把這一式子代入前面的公式中, 取 $e=1$, 并解出其中之 d , 得^①:

$$d = \sqrt{\frac{G v_{1t} 60 x_1}{l_1 n \sin \alpha_1 \pi^2}} \quad (7-5)$$

在這個方程式中, 每秒鐘的蒸汽流量 G 及轉數 n 可以當作已知, 其他數值必須在試算時估計。

第一非調節級噴管出口處的蒸汽比容 v_{1t} , 其準確的數值是不知道的。但是在高壓或中壓蒸汽區域中, 比容的變化很慢, 假令取第一非調節級噴管中的熱降 $h_0 = 9-12$ 大卡/公斤, 并將該熱降從相當於調節級後面蒸汽狀態的這一點起放在 is 圖內, 則可求得蒸汽的比容 v_{1t} , v_{1t} 就應當代入公式(7-5)中去。

對於衝動式透平來說, 比值 $x_1 = \frac{u}{c_1}$ 可造成 $x_1 = 0.4-0.5$, 功率小的透平數值 x_1 也應該選得小一些。

在衝動式透平中, 噴管的最小許可高度 $l_1 = 0.012-0.014$ 米, 但是即使在頭幾級中, 噴管的高度總希望大一些, $l_1 = 0.016-0.020$ 米。

衝動式透平級中所最常常採用的角度 α_1 為 $12-14^\circ$ 。

將這樣選得的數值代入公式(7-5), 就可以求得第一級的直徑 d_1 及圓周速度 $u = \frac{\pi d_1 n}{60}$; 此後, 知道了 x_1 , 就可求得衝動級噴管中的熱降 $h_0 \approx \frac{Ac_1^2}{2g\rho^2}$ 。如果所求得的熱降和以前估計蒸汽比容 v_{1t} [v_{1t} 是代到公式(7-5)中去的] 時所試取的數值相差很大, 那末必須根據所求得的熱降, 重新在 is 圖中求出 v_{1t} , 并將第一級的計算校準。

如果按照公式(7-5)所算得的單機壳透平的第一級直徑顯得太小且比值 $\frac{d_1}{d_2} < 0.5$, 那末, 可採用下列的方法以使第一級的直徑 d_1 增大: 把輪葉的長度再縮短, 把角度 α_1 減小, 增加調節級中的熱降, 以便蒸汽的比容 v 增大, 或最後採用部分進汽。有時可以使直徑的變化突躍一下(參閱 § 7-6), 讓 $\frac{d_1}{d_2} < 0.5$ 。假如根據技術條件量 d 受到限制, 那末在大型透平中應當讓 l 增大。

7-5. 透平各級間的熱降分配

求出了第一非調節級及最後一級的直徑之後, 就必須來闡明其餘各級間熱降的分配方法, 因此必須作出圖 7-10 所示的圖形。在

^① 把 μ_1 和 φ 數值中的差別忽視之後只引起很小的誤差, 後者在這種初步計算中是可以容許的。

橫坐标軸上选取任意綫段 a , 同時在縱坐标軸上按比例尺作出第一非調節級及最後一級的直徑 d_1 及 d_z 。然後用曲綫把 1 及 2 兩點連起來, 這一根曲綫即相當於透平各級直徑的變化曲綫。在同一圖上尚作有設計透平時所取用的系數 $x_a = \frac{u}{d_a}$ 的變化曲綫。對於所有各級來說, 常把 x_a 的數值取成相等。但是因為在高壓透平級中, 摩擦和通風損失以及漏汽損失都比低壓透平級中來得厉害, 所以可把前面幾級 x_a 的數值取得稍為小一些, 象圖 7-10 中所做的那樣。

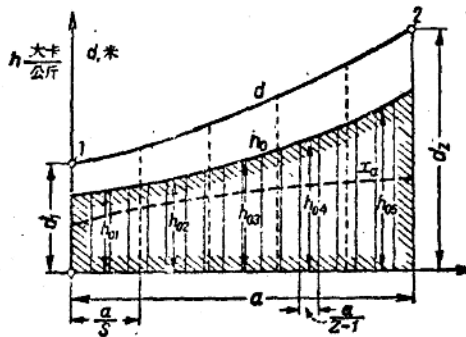


图 7-10: 在多級透平中用以計算透平各級的平均熱降的輔助圖。

各級的理想熱降可表示如下:

$$h_0 = \frac{Ac_a^2}{2g} = \frac{A}{2g} \frac{u^2}{x_a^2} = \frac{A\pi^2 d^2 n^2}{2g 60^2 x_a^2} \quad (7-6)$$

如果取 $n = 3000$ 轉/分, 并代入其他系數的數值, 則公式(7-6)有如下的形式:

$$h_0 = 2.94 \frac{d^2}{x_a^2} \quad (7-6a)$$

按照公式(7-6a)求得了第一級, 最後一級以及第三第四等中間級的熱降 h_0 之後, 就可在圖 7-10 上畫出 h_0 曲綫, 然後根據這根曲綫求得透平級的平均理想熱降 h_{0cp} 。

在計算 h_{0cp} 時, 可以用求積儀量出介於橫坐标軸與曲綫 h_0 之間的那塊面積(圖上打有斜影綫)並求出 $h_{0cp} = \frac{F}{a}$ 。

在大多數的實際計算中, 把底綫 a 譬如分成五等分, 就足以求出每一級中 h_0 的平均值, 并按照下列公式來計算透平級的平均理想熱降:

$$h_{0cp} = \frac{h_{01} + h_{02} + h_{03} + h_{04} + h_{05}}{5} \quad (7-7)$$

決定了 h_{0cp} 之後, 可以求得級數 z :

$$z = \frac{H_0(1+\alpha)}{h_{0cp}} \quad (7-8)$$

式中 H_0 —為按照調節級汽室中蒸汽狀態來求得的理想熱降;

α —重熱系數。

按照公式(7-8)所算得非調節級的級數, 尚應把它折成最接近 z 的整數。

將綫段 a 除以 $(z-1)$, 則可直接從圖 7-10 中求得每一透平級的熱降, 并把它們列成一表, 如表 7-4 所示。

表中第 3 行所算得的總和, 常常不能與 $H_0(1+\alpha)$ 的大小準確符合。假定 $\sum h_0$ 與 $H_0(1+\alpha)$ 兩者間的誤差為 Δ 大卡/公斤, 則 $\sum h_0 + \Delta = H_0(1+\alpha)$ 。將 Δ 除以級數 z , 則可在第 4 行中逐級寫出最後的熱降分配。

表 7-4

級數的序次	1	2	3	$z-1$	z	總和
透平級的直徑	d_1	d_2	d_3	d_{z-1}	d_z	—
試算的熱降	h_{01}	h_{02}	h_{03}	h_{0z-1}	h_{0z}	$\sum h_0$
最後的熱降	$h_{01} + \frac{\Delta}{z}$	$h_{02} + \frac{\Delta}{z}$	$h_{03} + \frac{\Delta}{z}$	$h_{0z-1} + \frac{\Delta}{z}$	$h_{0z} + \frac{\Delta}{z}$	$\sum h_0 + \Delta = H_0(1+\alpha)$